Comune di Gallicano nel Lazio Provincia di Roma

RELAZIONE TECNICA ILLUSTRATIVA

OGGETTO:

PROGETTO DEFINITIVO-ESECUTIVO - Recupero dei locali al piano seminterrato delle scuole elementare e materna, da destinare a ludoteca e a struttura socio assistenziale

Corpo "B" - Gruppo Appartamento - Fabbricato

COMMITTENTE:

Comune di Gallicano nel Lazio

Cave, 05/04/2017

Il Progettista

(Arch. Doriana Proietti Ing. Giuseppe Giordano)

Il Direttore dei Lavori

Il Collaudatore

(Arch. Doriana Proietti)

(...)

Studio Egeo

Viale Pio XII, 1 - 00033 Cave (RM) 069580911 - info@studioegeo.com



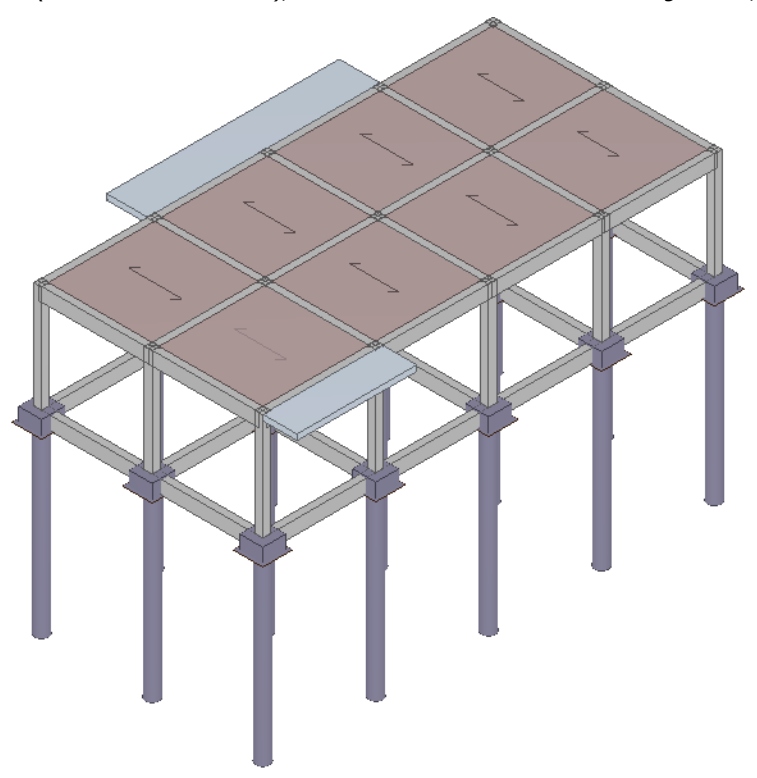
1 - DESCRIZIONE GENERALE DELL'OPERA

In questo progetto strutturale è stato affrontato l'ampliamento del presso scolastico individuato come Corpo "B" destinato a residenza. L'edificio oggetto della relazione di calcolo si sviluppa per un piano fuori terra con copertura a terrazza praticabile. La struttura è di tipo a telai mulpicampata in c.a. nelle due direzioni principali. Le colonne sono state dimensionate geometricamente in modo da rientrare nella resistenza al fuoco REI90. Le travi ed i solai invece verrebbero protetti dal fuoco attraverso un idoneo controsoffitto. Le fondazioni sono del tipo indiretto a pali.

Vengono riportate di seguito due viste assonometriche contrapposte, allo scopo di consentire una migliore comprensione della struttura oggetto della presente relazione:

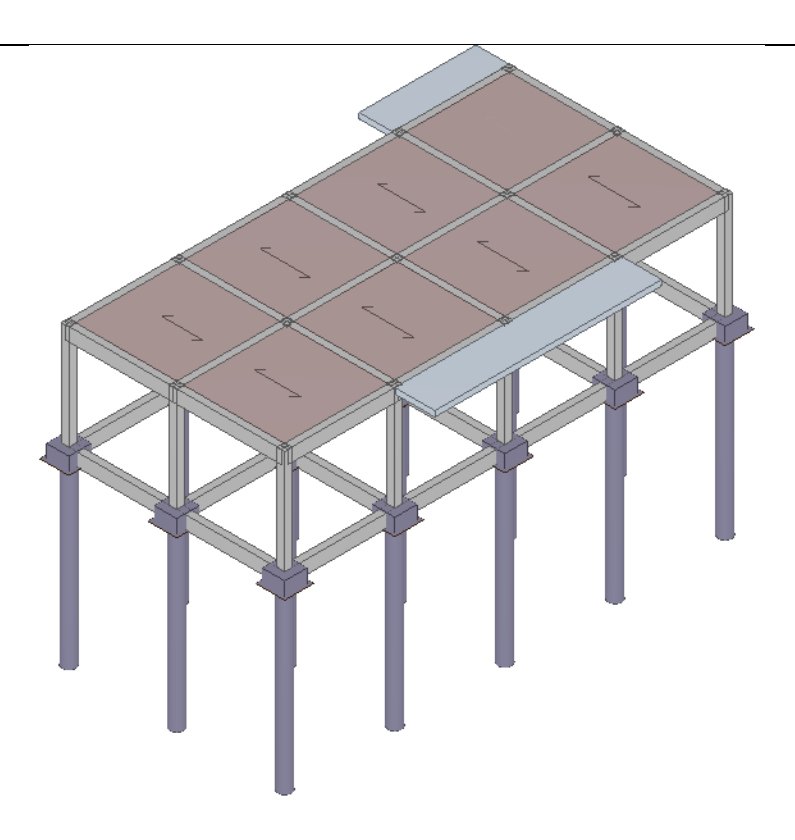
Vista Anteriore

La direzione di visualizzazione (bisettrice del cono ottico), relativamente al sistema di riferimento globale 0,X,Y, Z, ha versore (1;1;-1)



Vista Posteriore

La direzione di visualizzazione (bisettrice del cono ottico), relativamente al sistema di riferimento globale 0,X,Y, Z, ha versore (-1;-1;-1)



2 - NORMATIVA DI RIFERIMENTO

Le fasi di analisi e verifica della struttura sono state condotte in accordo alle seguenti disposizioni normative, per quanto applicabili in relazione al criterio di calcolo adottato dal progettista, evidenziato nel prosieguo della presente relazione:

Legge 5 novembre 1971 n. 1086 (G. U. 21 dicembre 1971 n. 321)

"Norme per la disciplina delle opere di conglomerato cementizio armato, normale e precompresso ed a struttura metallica".

Legge 2 febbraio 1974 n. 64 (G. U. 21 marzo 1974 n. 76)

"Provvedimenti per le costruzioni con particolari prescrizioni per le zone sismiche".

Indicazioni progettive per le nuove costruzioni in zone sismiche a cura del Ministero per la Ricerca scientifica - Roma 1981.

D. M. Infrastrutture Trasporti 14 gennaio 2008 (G.U. 4 febbraio 2008 n. 29 - Suppl. Ord.)

"Norme tecniche per le Costruzioni".

Inoltre, in mancanza di specifiche indicazioni, ad integrazione della norma precedente e per quanto con esse non in contrasto, sono state utilizzate le indicazioni contenute nella:

Circolare 2 febbraio 2009 n. 617 del Ministero delle Infrastrutture e dei Trasporti (G.U. 26 febbraio 2009 n. 27 – Suppl. Ord.)

"Istruzioni per l'applicazione delle 'Norme Tecniche delle Costruzioni' di cui al D.M. 14 gennaio 2008'.

3 - MATERIALI IMPIEGATI E RESISTENZE DI CALCOLO

Per la realizzazione dell'opera in oggetto saranno impiegati i seguenti materiali:

MATERIALI CALCESTRUZZO ARMATO

											Carati	teristiche	calcestru	izzo a	irmato
N _{id}	γk	α τ, i	E	G	C_{Erid}	Stz	R _{ck}	R_{cm}	%R _{ck}	γc	\mathbf{f}_{cd}	\mathbf{f}_{ctd}	f _{cfm}	N	n Ac
	[N/m ³]	[1/°C]	[N/mm ²]	[N/mm ²]	[%]		[N/mm ²]	[N/mm ²]			[N/mm ²]	[N/mm ²]	[N/mm ²]		
Cls C25	5/30_B4!	50C - (C25)	/30)												
001	25.000	0,000010	31.447	13.103	60	P	30,00	-	0,85	1,50	14,11	1,19	3,07	15	002

LEGENDA:

N_{id} Numero identificativo del materiale, nella relativa tabella dei materiali.

γ_k Peso specifico.

 $\alpha_{T,i}$ Coefficiente di dilatazione termica.

E Modulo elastico normale.

Modulo elastico tangenziale.

 \mathbf{C}_{Erid} Coefficiente di riduzione del Modulo elastico normale per Analisi Sismica [$\mathbf{E}_{\text{sisma}} = \mathbf{E} \cdot \mathbf{c}_{\text{Erid}}$].

Stz Tipo di situazione: [F] = di Fatto (Esistente); [P] = di Progetto (Nuovo).

RckResistenza caratteristica cubica.RcmResistenza media cubica.%RckPercentuale di riduzione della Rck

 γ_c Coefficiente parziale di sicurezza del materiale.

 \mathbf{f}_{cd} Resistenza di calcolo a compressione.

 $\mathbf{f}_{\mathsf{ctd}}$ Resistenza di calcolo a trazione.

f_{cfm} Resistenza media a trazione per flessione.

n Ac Identificativo, nella relativa tabella materiali, dell'acciaio utilizzato: [-] = parametro NON significativo per il materiale.

MATERIALI ACCIAIO

														Caratter	istiche	acciaio
N _{id}	06	α	_	G	Stz	f _{yk,1} /	f tk,1/	f _{yd,1} /	€.	٠,	06	06	W	06	γ	/ M7
Mid	γk	αт, і	_	9	312	f _{yk,2}	f _{tk,2}	$f_{yd,2}$	Ttd	γs	γм1	γм2	γ̃м3,SLV	γ̃M3,SLE	NCnt	Cnt
	[N/m ³]	[1/°C]	[N/mm ²]	[N/mm ²]		[N/mm ²]	[N/mm ²]	[N/mm ²]	[N/mm ²]							
Accia	aio B450C	- (B450C)														
002	70 500	0.000010	210.00	00.700		450,00		391,30		1 15						
002	78.500	0,000010	0	80.769	-	-	-	-	-	1,15	-	-	-	-	-	-

LEGENDA:

Numero identificativo del materiale, nella relativa tabella dei materiali.

γ_k Peso specifico.

α_{τ, i} Coefficiente di dilatazione termica.

E Modulo elastico normale.

G Modulo elastico tangenziale.

Stz Tipo di situazione: [F] = di Fatto (Esistente); [P] = di Progetto (Nuovo).

 $\mathbf{f}_{tk,1}$ Resistenza caratteristica a Rottura (per profili \leq 40 mm).

 $\mathbf{f}_{\mathbf{tk,2}}$ Resistenza caratteristica a Rottura (per profili 40 mm < t \leq 80 mm).

f_{td} Resistenza di calcolo a Rottura (Bulloni).

 γ_s Coefficiente parziale di sicurezza allo SLV del materiale.

 γ_{M1} Coefficiente parziale di sicurezza per instabilità.

γ_{M2} Coefficiente parziale di sicurezza per sezioni tese indebolite.
 γ_{M3,SLV} Coefficiente parziale di sicurezza per scorrimento allo SLV (Bulloni).
 γ_{M3,SLE} Coefficiente parziale di sicurezza per scorrimento allo SLE (Bulloni).

γ_{M7} Coefficiente parziale di sicurezza precarico di bulloni ad alta resistenza (Bulloni - NCnt = con serraggio NON controllato; Cnt = con

serraggio controllato). [-] = parametro NON significativo per il materiale.

 $\mathbf{f}_{\mathbf{yk,2}}$ Resistenza caratteristica allo snervamento (per profili con 40 mm < t \leq 80 mm).

 $\mathbf{f}_{yd,1}$ Resistenza di calcolo (per profili con t \leq 40 mm).

 $\mathbf{f_{vd,2}}$ Resistenza di calcolo (per profili con 40 mm < t \leq 80 mm).

NOTE [-] = Parametro non significativo per il materiale.

TENSIONI AMMISSIBILI ALLO SLE DEI VARI MATERIALI

		Tensioni ammissibili allo	SLE dei vari materiali
Materiale	SL	Tensione di verifica	$\sigma_{d,amm}$
			[N/mm²]
Cls C25/30_B450C	Caratteristica(RARA)	Compressione Calcestruzzo	14,94
	Quasi permanente	Compressione Calcestruzzo	11,21
Acciaio B450C	Caratteristica(RARA)	Trazione Acciaio	360,00

LEGENDA:

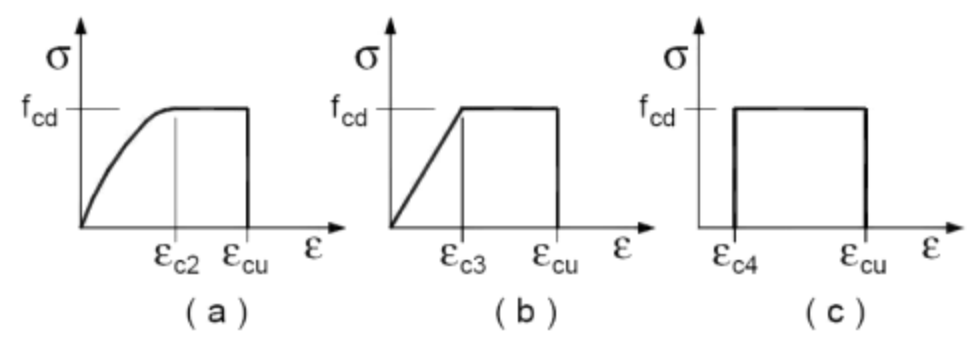
SL Stato limite di esercizio per cui si esegue la verifica.

 $\sigma_{d,amm}$ Tensione ammissibile per la verifica.

I valori dei parametri caratteristici dei suddetti materiali sono riportati anche nei **tabulati di calcolo**, nella relativa sezione.

Tutti i materiali impiegati dovranno essere comunque verificati con opportune prove di laboratorio secondo le prescrizioni della vigente Normativa.

I diagrammi costitutivi degli elementi in calcestruzzo sono stati adottati in conformità alle indicazioni riportate al par. 4.1.2.1.2.2 del D.M. 14/01/2008; in particolare per le verifiche effettuate a pressoflessione retta e pressoflessione deviata è adottato il modello riportato in fig. (a).

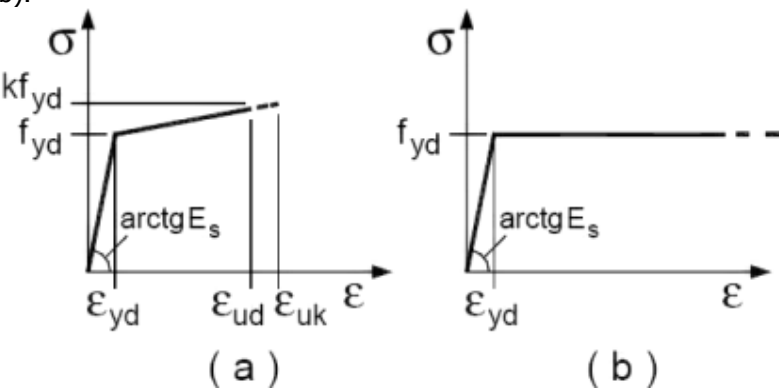


Diagrammi di calcolo tensione/deformazione del calcestruzzo.

I valori di deformazione assunti sono:

$$\epsilon_{c2} = 0,0020;$$
 $\epsilon_{cu2} = 0,0035.$

I diagrammi costitutivi dell'acciaio sono stati adottati in conformità alle indicazioni riportate al par. 4.1.2.1.2.3 del D.M. 14/01/2008; in particolare è adottato il modello elastico perfettamente plastico rappresentato in fig. (b).



La resistenza di calcolo è data da f_{vk}/γ_f . Il coefficiente di sicurezza γ_f si assume pari a 1,15.

4 - TERRENO DI FONDAZIONE

Le indagini effettuate, mirate alla valutazione della velocità delle onde di taglio (V_{S30}) e/o del numero di colpi dello Standard Penetration Test (NSPT), permettono di classificare il profilo stratigrafico, ai fini della determinazione dell'azione sismica, di categoria **B [B - Rocce tenere e depositi di terreni a grana grossa molto addensati o terreni a grana fina molto consistenti]**.

Nel caso specifico gli spettri di risposta sono stati calcolati sulla base di uno studio di risposta sismica locale.

Tutti i parametri che caratterizzano i terreni di fondazione sono riportati nei tabulati di calcolo, nella relativa sezione. Per ulteriori dettagli si rimanda alle relazioni geologica e geotecnica.

5 - ANALISI DEI CARICHI

Un'accurata valutazione dei carichi è un requisito imprescindibile di una corretta progettazione, in particolare

per le costruzioni realizzate in zona sismica.

Essa, infatti, è fondamentale ai fini della determinazione delle forze sismiche, in quanto incide sulla valutazione delle masse e dei periodi propri della struttura dai quali dipendono i valori delle accelerazioni (ordinate degli spettri di progetto).

La valutazione dei carichi e dei sovraccarichi è stata effettuata in accordo con le disposizioni del **Decreto Ministero Infrastrutture Trasporti 14 gennaio 2008** (G. U. 4 febbraio 2008, n. 29 - Suppl.Ord.) "*Norme tecniche per le Costruzionl*".

La valutazione dei carichi permanenti è effettuata sulle dimensioni definitive.

Le analisi effettuate, corredate da dettagliate descrizioni, oltre che nei tabulati di calcolo nella relativa sezione, sono di seguito riportate:

ANALISI CARICHI

Analisi carichi

N _{id}	T. C.	Descrizione del Carico	Tipologie di Carico	Peso Proprio Descrizione PP		Permanente NO Strutturale	N	Sovraccarico Accide	ntale	Carico
		Carico	Carico			Descrizione	PNS	Descrizione	SA	Neve
										[N/m ²]
001	S	Blocco poroton 35cm	Carico Permanente	Blocco poroton da 35 cm	1.600	Intonaco interno, intonaco esterno	600		0	0
002	S	LatCem Scuole H25	Scuole	Solaio di tipo tradizionale latero- cementizio di spessore 25 cm (20+5)	3.600	Pavimentazione e sottofondo, incidenza dei tramezzi e intonaco inferiore	2.500	Scuole (Cat. C1 – Tab. 3.1.II - DM 14.01.2008)	3.000	537
003	S	LatCem Balcone H25	Scuole	Solaio di tipo tradizionale latero- cementizio di spessore 25 cm (4+16+5)	4.200	Pavimento, sottofondo e intonaco inferiore	1.500	Balconi, ballatoi e scale comuni (Cat. C2 – Tab. 3.1.II - DM 14 01 2008)	4 000	537

LEGENDA:

Numero identificativo dell'analisi di carico.

C. C. Identificativo del tipo di carico: [S] = Superficiale - [L] = Lineare - [C] = Concentrato.

PP, PNS,

SA

Valori, rispettivamente, del Peso Proprio, del Sovraccarico Permanente NON strutturale, del Sovraccarico Accidentale. Secondo il tipo di carico indicato nella colonna "T.C." ("S" - "L" - "C"), i valori riportati nelle colonne "PP", "PNS" e "SA", sono espressi in [N/m²] per carichi Superficiali, [N/m] per carichi Lineari, [N] per carichi Concentrati.

6 - VALUTAZIONE DELL'AZIONE SISMICA

L'azione sismica è stata valutata in conformità alle indicazioni riportate al capitolo 3.2 del D.M. 14/01/2008 "Norme tecniche per le Costruzioni".

In particolare il procedimento per la definizione degli spettri di progetto per i vari Stati Limite per cui sono state effettuate le verifiche è stato il seguente:

- definizione della Vita Nominale e della Classe d'Uso della struttura, il cui uso combinato ha portato alla definizione del Periodo di Riferimento dell'azione sismica.
- Individuazione, tramite latitudine e longitudine, dei parametri sismici di base a_g, F₀ e T*_c per tutti e quattro gli Stati Limite previsti (SLO, SLD, SLV e SLC); l'individuazione è stata effettuata interpolando tra i 4 punti più vicini al punto di riferimento dell'edificio.
- Determinazione dei coefficienti di amplificazione stratigrafica e topografica.
- Calcolo del periodo T_c corrispondente all'inizio del tratto a velocità costante dello Spettro.

I dati così calcolati sono stati utilizzati per determinare gli Spettri di Progetto nelle verifiche agli Stati Limite considerate.

Si riportano di seguito le coordinate geografiche del sito rispetto al Datum **ED50**:

Latitudine	Longitudine	Altitudine
[°]	[°]	[m]
41.8696	12.8270	272

6.1 Verifiche di regolarità

Sia per la scelta del metodo di calcolo, sia per la valutazione del fattore di struttura adottato, deve essere effettuato il controllo della regolarità della struttura.

La tabella seguente riepiloga, per la struttura in esame, le condizioni di regolarità in pianta ed in altezza soddisfatte.

REGOLARITÀ DELLA STRUTTURA IN PIANTA	
La configurazione in pianta è compatta e approssimativamente simmetrica rispetto a due direzioni ortogonali, in relazione alla distribuzione di masse e rigidezze	SI
Il rapporto tra i lati di un rettangolo in cui la costruzione risulta inscritta è inferiore a 4	SI
Nessuna dimensione di eventuali rientri o sporgenze supera il 25 % della dimensione totale della costruzione nella corrispondente direzione	SI
Gli orizzontamenti possono essere considerati infinitamente rigidi nel loro piano rispetto agli elementi verticali e sufficientemente resistenti	SI

REGOLARITÀ DELLA STRUTTURA IN ALTEZZA	
Tutti i sistemi resistenti verticali (quali telai e pareti) si estendono per tutta l'altezza della costruzione	SI
Massa e rigidezza rimangono costanti o variano gradualmente, senza bruschi cambiamenti, dalla base alla sommità della costruzione (le variazioni di massa da un orizzontamento all'altro non superano il 25 %, la rigidezza non si riduce da un orizzontamento a quello sovrastante più del 30% e non aumenta più del 10%); ai fini della rigidezza si possono considerare regolari in altezza strutture dotate di pareti o nuclei in c.a. o pareti e nuclei in muratura di sezione costante sull'altezza o di telai controventati in acciaio, ai quali sia affidato almeno il 50% dell'azione sismica alla base	SI
Nelle strutture intelaiate progettate in CD`B" il rapporto tra resistenza effettiva e resistenza richiesta dal calcolo non è significativamente diverso per orizzontamenti diversi (il rapporto fra la resistenza effettiva e quella richiesta, calcolata ad un generico orizzontamento, non deve differire più del 20% dall'analogo rapporto determinato per un altro orizzontamento); può fare eccezione l'ultimo orizzontamento di strutture intelaiate di almeno tre orizzontamenti	SI
Eventuali restringimenti della sezione orizzontale della costruzione avvengono in modo graduale da un orizzontamento al successivo, rispettando i seguenti limiti: ad ogni orizzontamento il rientro non supera il 30% della dimensione corrispondente al primo orizzontamento, né il 20% della dimensione corrispondente all'orizzontamento immediatamente sottostante. Fa eccezione l'ultimo orizzontamento di costruzioni di almeno quattro piani per il quale non sono previste limitazioni di restringimento	SI

La rigidezza è calcolata come rapporto fra il taglio complessivamente agente al piano e δ , spostamento relativo di piano (il taglio di piano è la sommatoria delle azioni orizzontali agenti al di sopra del piano considerato).

Tutti i valori calcolati ed utilizzati per le verifiche sono riportati nei tabulati di calcolo nella relativa sezione.

La struttura è pertanto:

- **REGOLARE** in pianta;
- REGOLARE in altezza.

6.2 Classe di duttilità

La classe di duttilità è rappresentativa della capacità dell'edificio di dissipare energia in campo anelastico per azioni cicliche ripetute.

Le deformazioni anelastiche devono essere distribuite nel maggior numero di elementi duttili, in particolare le travi, salvaguardando in tal modo i pilastri e soprattutto i nodi travi pilastro che sono gli elementi più fragili.

Il D.M. 14/01/2008 definisce due tipi di comportamento strutturale:

- a) comportamento strutturale non-dissipativo;
- b) comportamento strutturale dissipativo.

Per strutture con comportamento strutturale dissipativo si distinguono due livelli di Capacità Dissipativa o Classi di Duttilità (CD).

- CD"A" (Alta);
- CD"B" (Bassa).

La differenza tra le due classi risiede nell'entità delle plasticizzazioni cui ci si riconduce in fase di progettazione; per ambedue le classi, onde assicurare alla struttura un comportamento dissipativo e duttile evitando rotture fragili e la formazione di meccanismi instabili imprevisti, si fa ricorso ai procedimenti tipici della gerarchia delle resistenze.

La struttura in esame è stata progettata in classe di duttilità classe "BASSA".

6.3 Spettri di Progetto per S.L.U. e S.L.D.

L'edificio è stato progettato per una Vita Nominale pari a 50 e per Classe d'Uso pari a 3.

In base alle indagini geognostiche effettuate e attraverso lo studio di risposta sismica locale, sono stati ricavati i seguenti valori per i parametri necessari alla costruzione degli spettri di risposta orizzontale e verticale:

						Par	ametri di perico	olosità sismica
Stato Limite	\mathbf{a}_{g}	Fo	T*c	Cc	T _B	Tc	T _D	Ss
	[g]		[s]		[s]	[s]	[s]	[s]
SLO	0.0689	2.437	0.269	1.00	0.057	0.171	1.876	1.50
SLD	0.0853	2.454	0.280	1.00	0.090	0.270	1.941	1.62
SLV	0.1896	2.490	0.296	1.00	0.100	0.300	2.359	1.17
SLC	0.2313	2.508	0.308	1.00	0.103	0.308	2.525	1.00

Per la definizione degli spettri di risposta, oltre all'accelerazione a_g al suolo (dipendente dalla classificazione sismica del Comune) occorre determinare il Fattore di Struttura q.

Il Fattore di struttura q è un fattore riduttivo delle forze elastiche introdotto per tenere conto delle capacità dissipative della struttura che dipende dal sistema costruttivo adottato, dalla Classe di Duttilità e dalla regolarità in altezza.

Si è inoltre assunto il Coefficiente di Amplificazione Topografica S_T pari a **1,00**.

Tali succitate caratteristiche sono riportate negli allegati tabulati di calcolo al punto "DATI GENERALI ANALISI SISMICA".

Per la struttura in esame sono stati determinati i seguenti valori:

Stato Limite di salvaguardia della Vita

Fattore di Struttura (q_X) per sisma orizzontale in direzione X: 3,300; Fattore di Struttura (q_Y) per sisma orizzontale in direzione Y: 3,300; Fattore di Struttura (q_Z) per sisma verticale: 1,50.

Di seguito si esplicita il calcolo del fattore di struttura utilizzato per il sisma orizzontale:

Dir. X:

- tipologia Tab. 7.4.I D.M. 14/01/2008: A telaio, miste equivalenti a telaio;
- tipologia strutturale: con più campate;
- $(\alpha_{U}/\alpha_{1})_{X}$: **1,1**;
- (q_o)_X: 3,000;
- fattore di riduzione q_o (k_w): **1,00**.

Dir. Y:

- tipologia Tab. 7.4.I D.M. 14/01/2008: A telaio, miste equivalenti a telaio;
- tipologia strutturale: con più campate;
- $(\alpha_u/\alpha_1)_Y$: **1,1**;
- $(q_o)_Y$: 3,000;
- fattore di riduzione q_o (k_w): **1,00**.

Regolarità in pianta: **REGOLARE**; Regolarità in altezza: **REGOLARE**.

Il fattore di struttura è calcolato secondo la relazione (7.3.1) del par. 7.3.1 del D.M. 14/01/2008:

$$q = q_o \cdot K_R$$
;

dove:

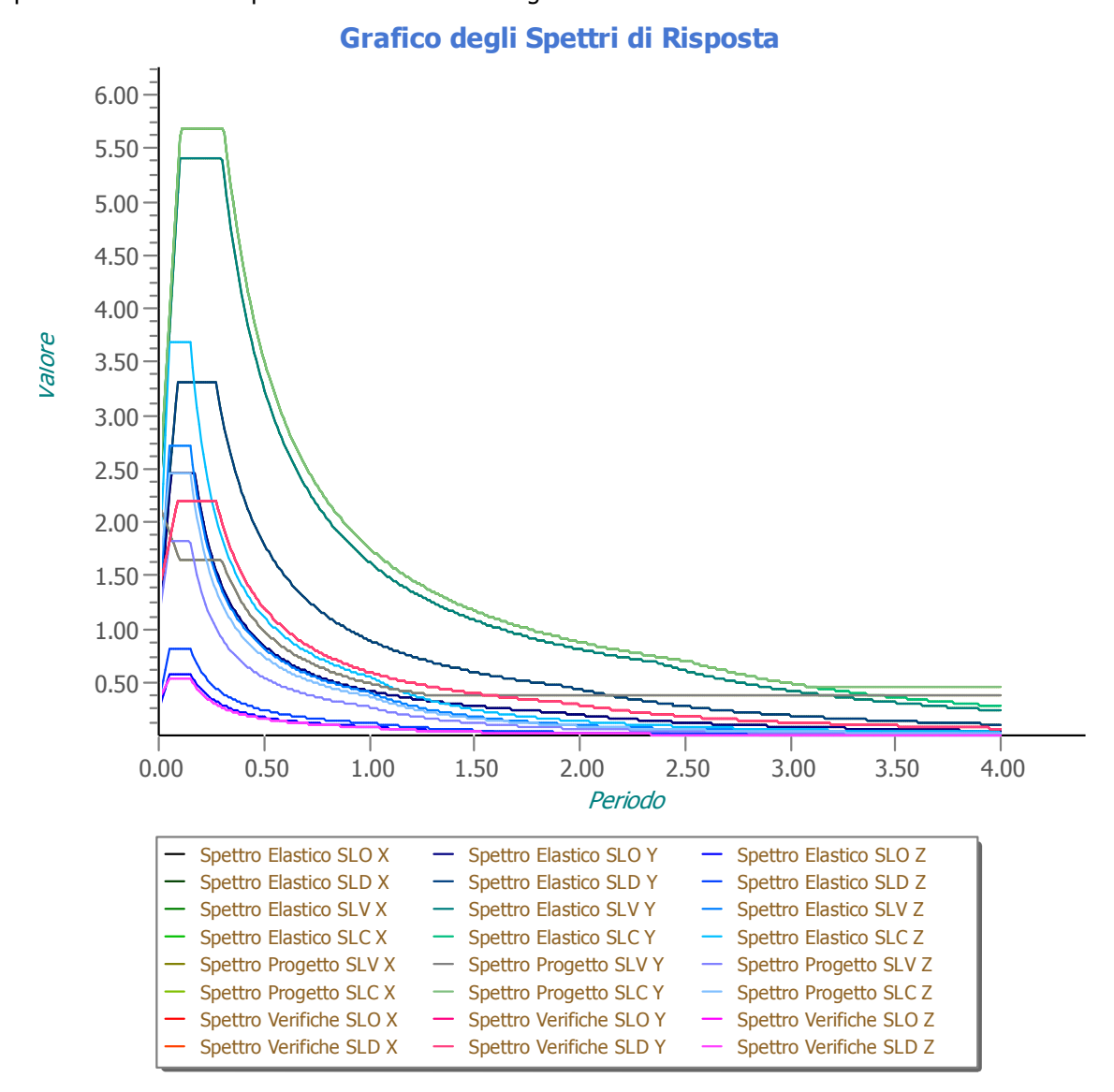
qo è il valore massimo del fattore di struttura che dipende dal livello di duttilità attesa, dalla tipologia

- strutturale e dal rapporto α_u/α_1 tra il valore dell'azione sismica per il quale si verifica la formazione di un numero di cerniere plastiche tali da rendere la struttura labile e quello per il quale il primo elemento strutturale raggiunge la plasticizzazione a flessione;
- K_R è un fattore riduttivo che dipende dalle caratteristiche di regolarità in altezza della costruzione, con valore pari ad 1 per costruzioni regolari in altezza e pari a 0,8 per costruzioni non regolari in altezza.
- **N.B:** Per le costruzioni *regolari in pianta*, qualora non si proceda ad un'analisi non lineare finalizzata alla valutazione del rapporto α_u/α_1 , per esso possono essere adottati i valori indicati nei par. 7.4.3.2 del D.M. 14/01/2008 per le diverse tipologie costruttive. Per le costruzioni *non regolari in pianta*, si possono adottare valori di α_u/α_1 pari alla media tra 1,0 ed i valori di volta in volta forniti per le diverse tipologie costruttive.

Tabella 7.4.I - Valori di qo

Tipologia	q ₀			
Прогодіа	CD"B"	CD"A"		
Strutture a telaio, a pareti accoppiate, miste	3,0⋅ α _u /α ₁	$4,5 \cdot \alpha_u/\alpha_1$		
Strutture a pareti non accoppiate	3,0	$4.0 \cdot \alpha_u/\alpha_1$		
Strutture deformabili torsionalmente	2,0	3,0		
Strutture a pendolo inverso	1,5	2,0		

Gli spettri utilizzati sono riportati nella successiva figura.



6.4 Metodo di Analisi

Il calcolo delle azioni sismiche è stato eseguito in analisi dinamica modale, considerando il comportamento della struttura in regime elastico lineare.

Il numero di modi di vibrazione considerato (15) ha consentito, nelle varie condizioni, di mobilitare le seguenti percentuali delle masse della struttura:

Stato Limite	Direzione Sisma	%
salvaguardia della vita	X	99.5
salvaguardia della vita	Υ	99.1
salvaguardia della vita	Z	100.0

Per valutare la risposta massima complessiva di una generica caratteristica E, conseguente alla sovrapposizione dei modi, si è utilizzata una tecnica di combinazione probabilistica definita CQC (*Complete Quadratic Combination - Combinazione Quadratica Completa*):

$$\mathsf{E} = \sqrt{\sum_{i,j=1,n}} \rho_{ij} \cdot \mathsf{E}_i \cdot \mathsf{E}_j \qquad \qquad \mathsf{con} \qquad \qquad \rho_{ij} = \frac{8 \cdot \xi^2 \cdot \left(1 + \beta_{ij}\right) \cdot \beta_{1j}^{\frac{3}{2}}}{\left(1 - \beta_{ij}^2\right)^2 + 4 \cdot \xi^2 \cdot \beta_{ij} \cdot \left(1 + \beta_{ij}^2\right)} \qquad \qquad \beta_{ij} = \frac{\varpi_i}{\varpi_j}$$

dove:

n è il numero di modi di vibrazione considerati;

 ξ è il coefficiente di smorzamento viscoso equivalente espresso in percentuale;

 β_{ij} è il rapporto tra le frequenze di ciascuna coppia i-j di modi di vibrazione.

Le sollecitazioni derivanti da tali azioni sono state composte poi con quelle derivanti da carichi verticali, orizzontali non sismici secondo le varie combinazioni di carico probabilistiche. Il calcolo è stato effettuato mediante un programma agli elementi finiti le cui caratteristiche verranno descritte nel seguito.

Il calcolo degli effetti dell'azione sismica è stato eseguito con riferimento alla struttura spaziale, tenendo cioè conto degli elementi interagenti fra loro secondo l'effettiva realizzazione escludendo i tamponamenti. Non ci sono approssimazioni su tetti inclinati, piani sfalsati o scale, solette, pareti irrigidenti e nuclei.

Si è tenuto conto delle deformabilità taglianti e flessionali degli elementi monodimensionali; muri, pareti, setti, solette sono stati correttamente schematizzati tramite elementi finiti a tre/quattro nodi con comportamento a guscio (sia a piastra che a lastra).

Sono stati considerati sei gradi di libertà per nodo; in ogni nodo della struttura sono state applicate le forze sismiche derivanti dalle masse circostanti.

Le sollecitazioni derivanti da tali forze sono state poi combinate con quelle derivanti dagli altri carichi come prima specificato.

6.5 Valutazione degli spostamenti

Gli spostamenti d_E della struttura sotto l'azione sismica di progetto allo SLV si ottengono moltiplicando per il fattore μ_d i valori d_{Ee} ottenuti dall'analisi lineare, dinamica o statica, secondo l'espressione seguente:

$$d_F = \pm \mu_d \cdot d_{Fe}$$

dove

$$\begin{array}{ll} \mu_d = q & \text{se } T_1 \geq T_C; \\ \mu_d = 1 + (q\text{-}1) \cdot T_C / T_1 & \text{se } T_1 < T_C. \end{array}$$

In ogni caso $\mu_d \le 5q - 4$.

6.6 Combinazione delle componenti dell'azione sismica

Le azioni orizzontali dovute al sisma sulla struttura vengono convenzionalmente determinate come agenti separatamente in due direzioni tra loro ortogonali prefissate. In generale, però, le componenti orizzontali del sisma devono essere considerate come agenti simultaneamente. A tale scopo, la combinazione delle componenti orizzontali dell'azione sismica è stata tenuta in conto come segue:

• gli effetti delle azioni dovuti alla combinazione delle componenti orizzontali dell'azione sismica sono stati valutati mediante le seguenti combinazioni:

$$E_{EdX} \pm 0.30E_{EdY}$$
 $E_{EdY} \pm 0.30E_{EdX}$

dove:

E_{EdX} rappresenta gli effetti dell'azione dovuti all'applicazione dell'azione sismica lungo l'asse orizzontale X scelto della struttura;

E_{EdY} rappresenta gli effetti dell'azione dovuti all'applicazione dell'azione sismica lungo l'asse orizzontale Y scelto della struttura.

L'azione sismica verticale deve essere considerata in presenza di: elementi pressoché orizzontali con luce superiore a 20 m, elementi pressoché orizzontali precompressi, elementi a sbalzo pressoché orizzontali con luce maggiore di 5 m, travi che sostengono colonne, strutture isolate.

La combinazione della componente verticale del sisma, qualora portata in conto, con quelle orizzontali è stata tenuta in conto come segue:

• gli effetti delle azioni dovuti alla combinazione delle componenti orizzontali e verticali del sisma sono stati valutati mediante le seguenti combinazioni:

$$E_{EdX} \pm 0.30E_{EdY} \pm 0.30E_{EdZ}$$

$$E_{EdY} \pm 0.30E_{EdX} \pm 0.30E_{EdZ}$$

$$E_{EdZ} \pm 0.30E_{EdX} \pm 0.30E_{EdY}$$

dove:

E_{EdX} e E_{EdY} sono gli effetti dell'azione sismica nelle direzioni orizzontali prima definite;

E_{EdZ} rappresenta gli effetti dell'azione dovuti all'applicazione della componente verticale dell'azione sismica di progetto.

6.7 Eccentricità accidentali

Per valutare le eccentricità accidentali, previste in aggiunta all'eccentricità effettiva sono state considerate condizioni di carico aggiuntive ottenute applicando l'azione sismica nelle posizioni del centro di massa di ogni piano ottenute traslando gli stessi, in ogni direzione considerata, di una distanza pari a +/- 5% della dimensione massima del piano in direzione perpendicolare all'azione sismica.

7 - AZIONI SULLA STRUTTURA

I calcoli e le verifiche sono condotti con il metodo semiprobabilistico degli stati limite secondo le indicazioni del D.M. 14/01/2008. I carichi agenti sui solai, derivanti dall'analisi dei carichi, vengono ripartiti dal programma di calcolo in modo automatico sulle membrature (travi, pilastri, pareti, solette, platee, ecc.).

I carichi dovuti ai tamponamenti, sia sulle travi di fondazione che su quelle di piano, sono schematizzati come carichi lineari agenti esclusivamente sulle aste.

Su tutti gli elementi strutturali è inoltre possibile applicare direttamente ulteriori azioni concentrate e/o distribuite (variabili con legge lineare ed agenti lungo tutta l'asta o su tratti limitati di essa).

Le azioni introdotte direttamente sono combinate con le altre (carichi permanenti, accidentali e sisma) mediante le combinazioni di carico di seguito descritte; da esse si ottengono i valori probabilistici da impiegare successivamente nelle verifiche.

7.1 Stato Limite di Salvaguardia della Vita

Le azioni sulla costruzione sono state cumulate in modo da determinare condizioni di carico tali da risultare più sfavorevoli ai fini delle singole verifiche, tenendo conto della probabilità ridotta di intervento simultaneo di tutte le azioni con i rispettivi valori più sfavorevoli, come consentito dalle norme vigenti. Per gli stati limite ultimi sono state adottate le combinazioni del tipo:

$$\gamma_{G1} \cdot G_1 + \gamma_{G2} \cdot G_2 + \gamma_{O1} \cdot P + \gamma_{O1} \cdot Q_{K1} + \gamma_{O2} \cdot \psi_{O2} \cdot Q_{K2} + \gamma_{O3} \cdot \psi_{O3} \cdot Q_{K3} + \dots$$
 (1)

dove:

- G₁ rappresenta il peso proprio di tutti gli elementi strutturali; peso proprio del terreno, quando pertinente; forze indotte dal terreno (esclusi gli effetti di carichi variabili applicati al terreno); forze risultanti dalla pressione dell'acqua (quando si configurino costanti nel tempo);
- G₂ rappresenta il peso proprio di tutti gli elementi non strutturali;
- P rappresenta l'azione di pretensione e/o precompressione;
- Q azioni sulla struttura o sull'elemento strutturale con valori istantanei che possono risultare sensibilmente diversi fra loro nel tempo:
 - di lunga durata: agiscono con un'intensità significativa, anche non continuativamente, per un tempo non trascurabile rispetto alla vita nominale della struttura;

- di breve durata: azioni che agiscono per un periodo di tempo breve rispetto alla vita nominale della struttura;

Qki rappresenta il valore caratteristico della i-esima azione variabile;

 γ_g , γ_q , γ_p coefficienti parziali come definiti nella Tab. 2.6.I del D.M. 14/01/2008;

 ψ_{0i} sono i coefficienti di combinazione per tenere conto della ridotta probabilità di concomitanza delle azioni variabili con i rispettivi valori caratteristici.

Le 32 combinazioni risultanti sono state costruite a partire dalle sollecitazioni caratteristiche calcolate per ogni condizione di carico elementare: ciascuna condizione di carico accidentale, a rotazione, è stata considerata sollecitazione di base (Q_{k1} nella formula precedente).

I coefficienti relativi a tali combinazioni di carico sono riportati negli allegati tabulati di calcolo.

In zona sismica, oltre alle sollecitazioni derivanti dalle generiche condizioni di carico statiche, devono essere considerate anche le sollecitazioni derivanti dal sisma. L'azione sismica è stata combinata con le altre azioni secondo la seguente relazione:

$$G_1+G_2+P+E+\Sigma_i\psi_{2i}Q_{ki}$$

dove:

E rappresenta l'azione sismica per lo stato limite in esame;

G₁ rappresenta peso proprio di tutti gli elementi strutturali;

G₂ rappresenta il peso proprio di tutti gli elementi non strutturali;

P rappresenta l'azione di pretensione e/o precompressione;

 ψ_{2i} coefficiente di combinazione delle azioni variabili Q_i ;

Qki valore caratteristico dell'azione variabile Qi.

Gli effetti dell'azione sismica sono valutati tenendo conto delle masse associate ai seguenti carichi gravitazionali:

$$G_K + \Sigma_i (\psi_{2i} \cdot Q_{ki}).$$

I valori dei coefficienti ψ_{2i} sono riportati nella seguente tabella:

Categoria/Azione	ψ 2i
Categoria A - Ambienti ad uso residenziale	0,3
Categoria B - Uffici	0,3
Categoria C - Ambienti suscettibili di affollamento	0,6
Categoria D - Ambienti ad uso commerciale	0,6
Categoria E - Biblioteche, archivi, magazzini e ambienti ad uso industriale	0,8
Categoria F - Rimesse e parcheggi (per autoveicoli di peso ≤ 30 kN)	0,6
Categoria G - Rimesse e parcheggi (per autoveicoli di peso > 30 kN)	0,3
Categoria H - Coperture	0,0
Vento	0,0
Neve (a quota ≤ 1000 m s.l.m.)	0,0
Neve (a quota > 1000 m s.l.m.)	0,2
Variazioni termiche	0,0

Le verifiche strutturali e geotecniche delle fondazioni, sono state effettuate con l'**Approccio 2** come definito al par. 2.6.1 del D.M. 14/01/2008, attraverso la combinazione **A1+M1+R3**. Le azioni sono state amplificate tramite i coefficienti della colonna A1 (STR) definiti nella Tab. 6.2.I del D.M. 14/01/2008.

I valori di resistenza del terreno sono stati ridotti tramite i coefficienti della colonna M1 definiti nella Tab. 6.2.II del D.M. 14/01/2008.

Per le fondazioni su pali, i valori calcolati delle resistenze totali dell'elemento strutturale sono stati divisi per i coefficienti R3 della Tab. 6.4.II del D.M. 14/01/2008.

Si è quindi provveduto a progettare le armature di ogni elemento strutturale per ciascuno dei valori ottenuti secondo le modalità precedentemente illustrate. Nella sezione relativa alle verifiche dei "Tabulati di calcolo" in allegato sono riportati, per brevità, i valori della sollecitazione relativi alla combinazione cui corrisponde il minimo valore del coefficiente di sicurezza.

7.2 Stato Limite di Danno

L'azione sismica, ottenuta dallo spettro di progetto per lo Stato Limite di Danno, è stata combinata con le altre azioni mediante una relazione del tutto analoga alla precedente:

 $G_1+G_2+P+E+\Sigma_i\psi_{2i}\cdot Q_{ki}$

dove:

E rappresenta l'azione sismica per lo stato limite in esame;

G₁ rappresenta peso proprio di tutti gli elementi strutturali;

G₂ rappresenta il peso proprio di tutti gli elementi non strutturali;

P rappresenta l'azione di pretensione e/o precompressione;

 ψ_{2i} coefficiente di combinazione delle azioni variabili Q_i ;

 Q_{ki} valore caratteristico dell'azione variabile Q_i .

Gli effetti dell'azione sismica sono valutati tenendo conto delle masse associate ai sequenti carichi

Gii effetti dell'azione sismica sono valutati tenendo conto delle masse associate ai seguenti carichi gravitazionali:

$$G_K + \Sigma_i (\psi_{2i} \cdot Q_{ki}).$$

I valori dei coefficienti ψ_{2i} sono riportati nella tabella di cui allo SLV.

7.3 Stati Limite di Esercizio

Allo Stato Limite di Esercizio le sollecitazioni con cui sono state semiprogettate le aste in c.a. sono state ricavate applicando le formule riportate nel D.M. 14/01/2008 al par. 2.5.3. Per le verifiche agli stati limite di esercizio, a seconda dei casi, si fa riferimento alle seguenti combinazioni di carico:

rara	frequente	quasi permanente
$- \sum_{j \geq 1} G_{kj} + P + Q_{k1} + \sum_{i > 1} \psi_{0i} \cdot Q_{ki}$	$\sum_{j\geq 1}G_{kj}+P+\psi_{11}\cdot Q_{k1}+\sum_{i>1}\psi_{2i}\cdot Q_{ki}$	$\sum_{j\geq 1} G_{kj} + P + \sum_{i>1} \psi_{2i} \cdot Q_{ki}$

dove:

G_{ki} valore caratteristico della j-esima azione permanente;

P_{kh} valore caratteristico della h-esima deformazione impressa;

Qkl valore caratteristico dell'azione variabile di base di ogni combinazione;

Q_{ki} valore caratteristico della i-esima azione variabile;

 ψ_{0i} coefficiente atto a definire i valori delle azioni ammissibili di durata breve ma ancora significativi nei riguardi della possibile concomitanza con altre azioni variabili;

 ψ_{1i} coefficiente atto a definire i valori delle azioni ammissibili ai frattili di ordine 0,95 delle distribuzioni dei valori istantanei:

 ψ_{2i} coefficiente atto a definire i valori quasi permanenti delle azioni ammissibili ai valori medi delle distribuzioni dei valori istantanei.

Ai coefficienti ψ_{0i} , ψ_{1i} , ψ_{2i} sono attribuiti i seguenti valori:

Azione	ψ 0i	ψ 1i	ψ 2i
Categoria A – Ambienti ad uso residenziale	0,7	0,5	0,3
Categoria B – Uffici	0,7	0,5	0,3
Categoria C – Ambienti suscettibili di affollamento	0,7	0,7	0,6
Categoria D – Ambienti ad uso commerciale	0,7	0,7	0,6
Categoria E – Biblioteche, archivi, magazzini e ambienti ad uso industriale	1,0	0,9	0,8
Categoria F – Rimesse e parcheggi (per autoveicoli di peso ≤ 30 kN)	0,7	0,7	0,6
Categoria G – Rimesse e parcheggi (per autoveicoli di peso > 30 kN)	0,7	0,5	0,3
Categoria H – Coperture	0,0	0,0	0,0
Vento	0,6	0,2	0,0
Neve (a quota ≤ 1000 m s.l.m.)	0,5	0,2	0,0
Neve (a quota > 1000 m s.l.m.)	0,7	0,5	0,2
Variazioni termiche	0,6	0,5	0,0

In maniera analoga a quanto illustrato nel caso dello SLU le combinazioni risultanti sono state costruite a partire dalle sollecitazioni caratteristiche calcolate per ogni condizione di carico; a turno ogni condizione di carico accidentale è stata considerata sollecitazione di base $[Q_{k1}$ nella formula (1)], con ciò dando origine a tanti valori combinati. Per ognuna delle combinazioni ottenute, in funzione dell'elemento (trave, pilastro, etc...) sono state effettuate le verifiche allo SLE (tensioni, deformazioni e fessurazione).

Negli allegati tabulati di calcolo sono riportanti i coefficienti relativi alle combinazioni di calcolo generate

relativamente alle combinazioni di azioni "Quasi Permanente" (1), "Frequente" (3) e "Rara" (3). Nelle sezioni relative alle verifiche allo SLE dei citati tabulati, inoltre, sono riportati i valori delle sollecitazioni relativi alle combinazioni che hanno originato i risultati più gravosi.

8 - CODICE DI CALCOLO IMPIEGATO

8.1 Denominazione

Nome del Software	EdiLus
Versione	32.00d
Caratteristiche del Software	Software per il calcolo di strutture agli elementi finiti per Windows
Numero di serie	85052345
Intestatario Licenza	
Produzione e Distribuzione	ACCA software S.p.A.
	Via Michelangelo Cianciulli 83048 Montella (AV) Tel. 0827/69504 r.a Fax 0827/601235 e-mail: info@acca.it - Internet: www.acca.it

8.2 Sintesi delle funzionalità generali

Il pacchetto consente di modellare la struttura, di effettuare il dimensionamento e le verifiche di tutti gli elementi strutturali e di generare gli elaborati grafici esecutivi.

È una procedura integrata dotata di tutte le funzionalità necessarie per consentire il calcolo completo di una struttura mediante il metodo degli elementi finiti (FEM); la modellazione della struttura è realizzata tramite elementi Beam (travi e pilastri) e Shell (platee, pareti, solette, setti, travi-parete).

L'input della struttura avviene per oggetti (travi, pilastri, solai, solette, pareti, etc.) in un ambiente grafico integrato; il modello di calcolo agli elementi finiti, che può essere visualizzato in qualsiasi momento in una apposita finestra, viene generato dinamicamente dal software.

Apposite funzioni consentono la creazione e la manutenzione di archivi Sezioni, Materiali e Carichi; tali archivi sono generali, nel senso che sono creati una tantum e sono pronti per ogni calcolo, potendoli comunque integrare/modificare in ogni momento.

L'utente non può modificare il codice ma soltanto eseguire delle scelte come:

- definire i vincoli di estremità per ciascuna asta (vincoli interni) e gli eventuali vincoli nei nodi (vincoli esterni);
- modificare i parametri necessari alla definizione dell'azione sismica;
- · definire condizioni di carico;
- · definire gli impalcati come rigidi o meno.

Il programma è dotato di un manuale tecnico ed operativo. L'assistenza è effettuata direttamente dalla casa produttrice, mediante linea telefonica o e-mail.

Il calcolo si basa sul solutore agli elementi finiti MICROSAP prodotto dalla società TESYS srl. La scelta di tale codice è motivata dall'elevata affidabilità dimostrata e dall'ampia documentazione a disposizione, dalla quale risulta la sostanziale uniformità dei risultati ottenuti su strutture standard con i risultati internazionalmente accettati ed utilizzati come riferimento.

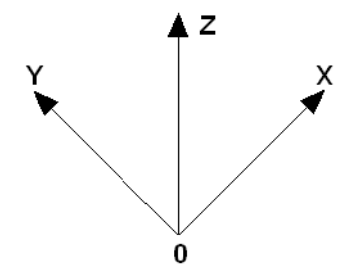
Tutti i risultati del calcolo sono forniti, oltre che in formato numerico, anche in formato grafico permettendo così di evidenziare agevolmente eventuali incongruenze.

Il programma consente la stampa di tutti i dati di input, dei dati del modello strutturale utilizzato, dei risultati del calcolo e delle verifiche dei diagrammi delle sollecitazioni e delle deformate.

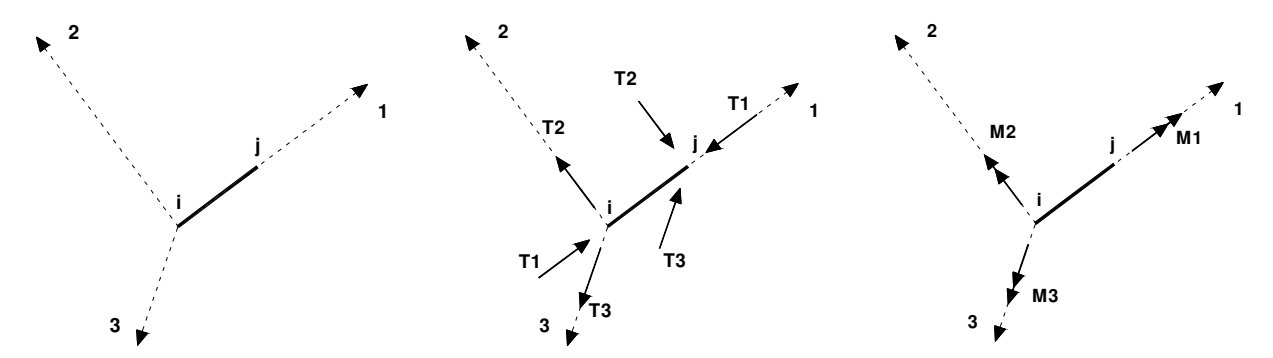
8.3 Sistemi di Riferimento

8.3.1 Riferimento globale

Il sistema di riferimento globale, rispetto al quale va riferita l'intera struttura, è costituito da una terna di assi cartesiani sinistrorsa O, X, Y, Z (X, Y, e Z sono disposti e orientati rispettivamente secondo il pollice, l'indice ed il medio della mano destra, una volta posizionati questi ultimi a 90° tra loro).



8.3.2 Riferimento locale per travi



L'elemento Trave è un classico elemento strutturale in grado di ricevere Carichi distribuiti e Carichi Nodali applicati ai due nodi di estremità; per effetto di tali carichi nascono, negli estremi, sollecitazioni di taglio, sforzo normale, momenti flettenti e torcenti.

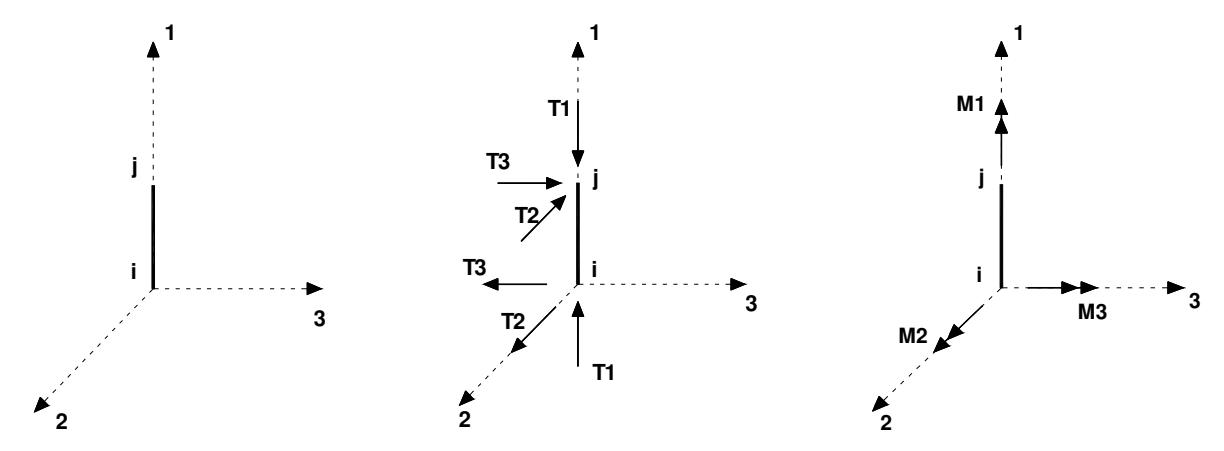
Definiti i e j (nodi iniziale e finale della Trave) viene individuato un sistema di assi cartesiani 1-2-3 locale all'elemento, con origine nel Nodo i così composto:

- · asse 1 orientato dal nodo i al nodo j;
- assi 2 e 3 appartenenti alla sezione dell'elemento e coincidenti con gli assi principali d'inerzia della sezione stessa.

Le sollecitazioni verranno fornite in riferimento a tale sistema di riferimento:

- 1. Sollecitazione di Trazione o Compressione T₁ (agente nella direzione i-j);
- 2. Sollecitazioni taglianti T₂ e T₃, agenti nei due piani 1-2 e 1-3, rispettivamente secondo l'asse 2 e l'asse 3;
- 3. Sollecitazioni che inducono flessione nei piani 1-3 e 1-2 (M₂ e M₃);
- 4. Sollecitazione torcente M₁.

8.3.3 Riferimento locale per pilastri



Definiti i e j come i due nodi iniziale e finale del pilastro, viene individuato un sistema di assi cartesiani 1-2-3 locale all'elemento, con origine nel Nodo i così composto:

- asse 1 orientato dal nodo i al nodo j;
- asse 2 perpendicolare all' asse 1, parallelo e discorde all'asse globale Y;

• asse 3 che completa la terna destrorsa, parallelo e concorde all'asse globale X.

Tale sistema di riferimento è valido per Pilastri con angolo di rotazione pari a '0' gradi; una rotazione del pilastro nel piano XY ha l'effetto di ruotare anche tale sistema (ad es. una rotazione di '90' gradi porterebbe l'asse 2 a essere parallelo e concorde all'asse X, mentre l'asse 3 sarebbe parallelo e concorde all'asse globale Y). La rotazione non ha alcun effetto sull'asse 1 che coinciderà sempre e comunque con l'asse globale Z.

Per quanto riguarda le sollecitazioni si ha:

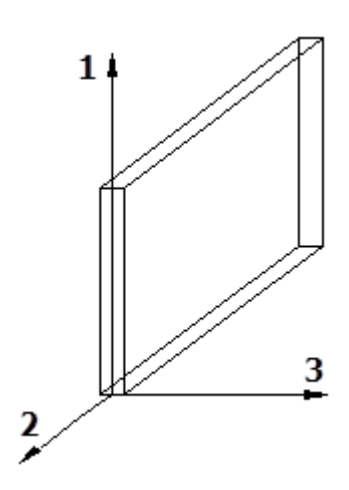
- una forza di trazione o compressione T₁, agente lungo l'asse locale 1;
- due forze taglianti T₂ e T₃ agenti lungo i due assi locali 2 e 3;
- due vettori momento (flettente) M₂ e M₃ agenti lungo i due assi locali 2 e 3;
- un vettore momento (torcente) M₁ agente lungo l'asse locale nel piano 1.

8.3.4 Riferimento locale per pareti

Una parete è costituita da una sequenza di setti; ciascun setto è caratterizzato da un sistema di riferimento locale 1-2-3 così individuato:

- asse 1, coincidente con l'asse globale Z;
- asse 2, parallelo e discorde alla linea d'asse della traccia del setto in pianta;
- asse 3, ortogonale al piano della parete, che completa la terna levogira.

Su ciascun setto l'utente ha la possibilità di applicare uno o più carichi uniformemente distribuiti comunque orientati nello spazio; le componenti di tali carichi possono essere fornite, a discrezione dell'utente, rispetto al riferimento globale X,Y,Z oppure rispetto al riferimento locale 1,2,3 appena definito.



Si rende necessario, a questo punto, meglio precisare le modalità con cui EdiLus restituisce i risultati di calcolo.

Nel modello di calcolo agli elementi finiti ciascun setto è discretizzato in una serie di elementi tipo "shell" interconnessi; il solutore agli elementi finiti integrato nel programma EdiLus, definisce un riferimento locale per ciascun elemento shell e restituisce i valori delle tensioni esclusivamente rispetto a tali riferimenti.

Il software EdiLus provvede ad omogeneizzare tutti i valori riferendoli alla terna 1-2-3. Tale operazione consente, in fase di input, di ridurre al mimino gli errori dovuti alla complessità d'immissione dei dati stessi ed allo stesso tempo di restituire all'utente dei risultati facilmente interpretabili.

Tutti i dati cioè, sia in fase di input che in fase di output, sono organizzati secondo un criterio razionale vicino al modo di operare del tecnico e svincolato dal procedimento seguito dall'elaboratore elettronico.

In tal modo ad esempio, il significato dei valori delle tensioni può essere compreso con immediatezza non solo dal progettista che ha operato con il programma ma anche da un tecnico terzo non coinvolto nell'elaborazione; entrambi, così, potranno controllare con facilità dal tabulato di calcolo, la congruità dei valori riportati.

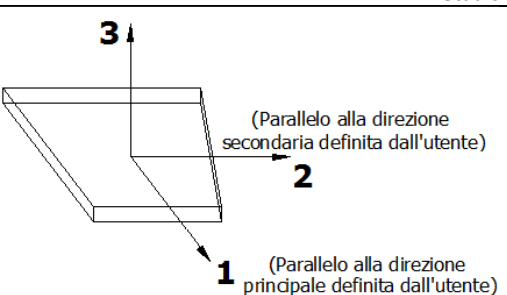
Un'ultima notazione deve essere riservata alla modalità con cui il programma fornisce le armature delle pareti, con riferimento alla faccia anteriore e posteriore.

La faccia anteriore è quella di normale uscente concorde all'asse 3 come prima definito o, identicamente, quella posta alla destra dell'osservatore che percorresse il bordo superiore della parete concordemente al verso di tracciamento.

8.3.5 Riferimento locale per solette e platee

Ciascuna soletta e platea è caratterizzata da un sistema di riferimento locale 1,2,3 così definito:

- asse 1, coincidente con la direzione principale di armatura;
- asse 2, coincidente con la direzione secondaria di armatura;
- asse 3, ortogonale al piano della parete, che completa la terna levogira.

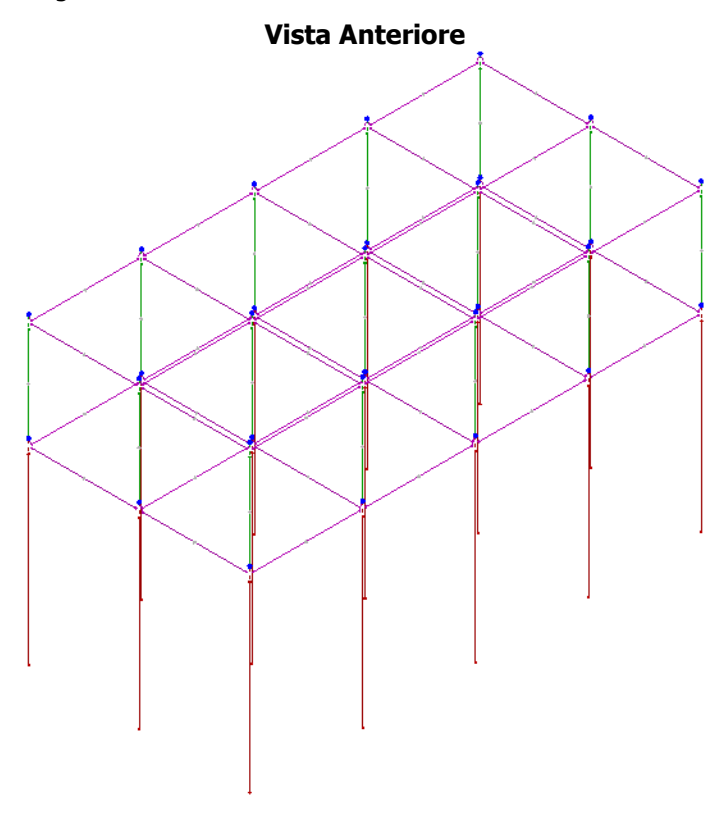


8.4 Modello di Calcolo

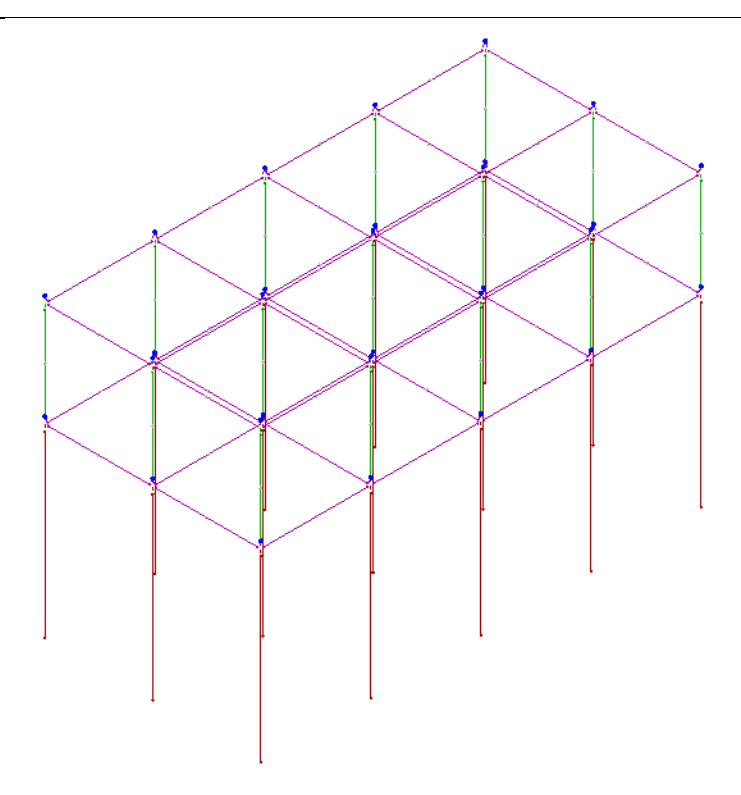
Il modello della struttura viene creato automaticamente dal codice di calcolo, individuando i vari elementi strutturali e fornendo le loro caratteristiche geometriche e meccaniche.

Viene definita un'opportuna numerazione degli elementi (nodi, aste, shell) costituenti il modello, al fine di individuare celermente ed univocamente ciascun elemento nei tabulati di calcolo.

Qui di seguito è fornita una rappresentazione grafica dettagliata della discretizzazione operata con evidenziazione dei nodi e degli elementi.



Vista Posteriore



Dalle illustrazioni precedenti si evince come le aste, sia travi che pilastri, siano schematizzate con un tratto flessibile centrale e da due tratti (braccetti) rigidi alle estremità. I nodi vengono posizionati sull'asse verticale dei pilastri, in corrispondenza dell'estradosso della trave più alta che in esso si collega. Tramite i braccetti i tratti flessibili sono quindi collegati ad esso.

In questa maniera il nodo risulta perfettamente aderente alla realtà poiché vengono presi in conto tutti gli eventuali disassamenti degli elementi con gli effetti che si possono determinare, quali momenti flettenti/torcenti aggiuntivi.

Le sollecitazioni vengono determinate, com'è corretto, solo per il tratto flessibile. Sui tratti rigidi, infatti, essendo (teoricamente) nulle le deformazioni le sollecitazioni risultano indeterminate.

Questa schematizzazione dei nodi viene automaticamente realizzata dal programma anche quando il nodo sia determinato dall'incontro di più travi senza il pilastro, o all'attacco di travi/pilastri con elementi shell.

Il vincolo offerto dai plinti è del tipo incastro cedevole con rigidezze traslazionali in direzione X,Y,Z e rotazionali in X, Y e Z. Il calcolo di tali rigidezze è effettuato per plinti diretti in funzione delle costanti di sottofondo del terreno, mentre per i plinti su pali la rigidezza complessiva è funzione delle rigidezze calcolate per i singoli pali.

9 PROGETTO E VERIFICA DEGLI ELEMENTI STRUTTURALI

La verifica degli elementi allo SLU avviene col seguente procedimento:

- si costruiscono le combinazioni non sismiche in base al D.M. 14/01/2008, ottenendo un insieme di sollecitazioni;
- si combinano tali sollecitazioni con quelle dovute all'azione del sisma secondo quanto indicato nel par. 2.5.3, relazione (2.5.5) del D.M. 14/01/2008;
- per sollecitazioni semplici (flessione retta, taglio, etc.) si individuano i valori minimo e massimo con cui progettare o verificare l'elemento considerato; per sollecitazioni composte (pressoflessione retta/deviata) vengono eseguite le verifiche per tutte le possibili combinazioni e solo a seguito di ciò si individua quella che ha originato il minimo coefficiente di sicurezza.

9.1 Verifiche di Resistenza

9.1.1 Elementi in C.A.

Illustriamo, in dettaglio, il procedimento seguito in presenza di pressoflessione deviata (pilastri e trave di sezione generica):

• per tutte le terne Mx, My, N, individuate secondo la modalità precedentemente illustrata, si calcola il coefficiente di sicurezza in base alla formula 4.1.10 del D.M. 14/01/2008, effettuando due verifiche a pressoflessione retta con la seguente formula:

$$\left(\frac{M_{Ex}}{M_{Rx}}\right)^{\alpha} + \left(\frac{M_{Ey}}{M_{Ry}}\right)^{\alpha} \le 1$$

dove:

M_{Ex}, M_{Ey} sono i valori di calcolo delle due componenti di flessione retta dell'azione attorno agli assi di flessione X ed Y del sistema di riferimento locale;

 M_{Rx} , M_{Ry} sono i valori di calcolo dei momenti resistenti di pressoflessione retta corrispondenti allo sforzo assiale N_{Ed} valutati separatamente attorno agli assi di flessione.

L'esponente α può dedursi in funzione della geometria della sezione, della percentuale meccanica dell'armatura e della sollecitazione di sforzo normale agente.

• se per almeno una di queste terne la relazione 4.1.10 non è rispettata, si incrementa l'armatura variando il diametro delle barre utilizzate e/o il numero delle stesse in maniera iterativa fino a quando la suddetta relazione è rispettata per tutte le terne considerate.

Sempre quanto concerne il progetto degli elementi in c.a. illustriamo in dettaglio il procedimento seguito per le travi verificate/semiprogettate a pressoflessione retta:

- per tutte le coppie Mx, N, individuate secondo la modalità precedentemente illustrata, si calcola il coefficiente di sicurezza in base all'armatura adottata;
- se per almeno una di queste coppie esso è inferiore all'unità, si incrementa l'armatura variando il diametro delle barre utilizzate e/o il numero delle stesse in maniera iterativa fino a quando il coefficiente di sicurezza risulta maggiore o al più uguale all'unità per tutte le coppie considerate.

Nei "<u>Tabulati di calcolo</u>", per brevità, non potendo riportare una così grossa mole di dati, si riporta la terna Mx, My, N, o la coppia Mx, N che ha dato luogo al minimo coefficiente di sicurezza.

Una volta semiprogettate le armature allo SLU, si procede alla verifica delle sezioni allo Stato Limite di Esercizio con le sollecitazioni derivanti dalle combinazioni rare, frequenti e quasi permanenti; se necessario, le armature vengono integrate per far rientrare le tensioni entro i massimi valori previsti.

Successivamente si procede alle verifiche alla deformazione, quando richiesto, ed alla fessurazione che, come è noto, sono tese ad assicurare la durabilità dell'opera nel tempo.

9.1.1.1 Plinti su pali

Il plinto su pali è stato calcolato pensandolo come un insieme di travi isostatiche che collegano le teste dei pali. Il carico verticale viene ripartito in base al numero di esse ed idealmente posto al centro; le verifiche delle armature a flessione e taglio di tali travi sono effettuate di conseguenza. Vengono calcolate, quando necessarie, le armature di punzonamento ed i plinti sono completati con armature di ripartizione per particolari geometrie che lo richiedono, ed ancora con armature perimetrali di circondamento.

Le metodologie, i modelli usati ed i risultati del calcolo del *carico limite* sono esposti nella relazione GEOTECNICA.

9.2 Gerarchia delle Resistenze

9.2.1 Elementi in C.A.

Relativamente agli elementi in c.a., sono state applicate le disposizioni contenute al par. 7.4.4 del D.M. 14/01/2008. Più in particolare:

- per le **travi**, al fine di escludere la formazione di meccanismi inelastici dovuti al **taglio**, le sollecitazioni di calcolo si ottengono sommando il contributo dovuto ai carichi gravitazionali agenti sulla trave, considerata incernierata agli estremi, alle sollecitazioni di taglio corrispondenti alla formazione delle cerniere plastiche nella trave e prodotte dai momenti resistenti delle due sezioni di estremità, amplificati del fattore di sovraresistenza γ_{Rd} assunto pari, rispettivamente, ad 1,20 per strutture in CD"A", ad 1,00 per strutture in CD"B". La verifica di resistenza è eseguita secondo le indicazioni del par. 7.4.4.1.2.2.
- per i **pilastri**, al fine di scongiurare l'attivazione di meccanismi fragili globali, come il meccanismo di "piano debole" che comporta la plasticizzazione, anticipata rispetto alle travi, di gran parte dei pilastri di un piano, il progetto a *flessione* delle zone dissipative dei pilastri è effettuato considerando le sollecitazioni corrispondenti alla resistenza delle zone dissipative delle travi amplificata mediante il coefficiente γ_{Rd} che vale 1,3 in CD "A" e 1,1 per CD "B". In tali casi, generalmente, il meccanismo dissipativo prevede la localizzazione delle cerniere alle estremità delle travi e le sollecitazioni di progetto dei pilastri possono essere ottenute a partire dalle resistenze d'estremità delle travi che su di essi convergono, facendo in modo che, per ogni nodo trave-pilastro ed ogni direzione e verso dell'azione sismica, la resistenza complessiva dei pilastri sia maggiore della resistenza complessiva delle travi amplificata del coefficiente γ_{Rd} , in accordo con la formula (7.4.4) delle NTC. Le verifiche di resistenza sono eseguite secondo le indicazioni del par. 7.4.4.2.2.1.
 - Al fine di escludere la formazione di meccanismi inelastici dovuti al *taglio*, le sollecitazioni di calcolo da utilizzare per le verifiche ed il dimensionamento delle armature si ottengono dalla condizione di equilibrio del pilastro soggetto all'azione dei momenti resistenti nelle sezioni di estremità superiore ed inferiore secondo l'espressione (7.4.5). Le verifiche di resistenza sono eseguite secondo le indicazioni del par. 7.4.4.2.2.2.
- per i **nodi trave-pilastro**, si deve verificare che la resistenza del nodo sia tale da assicurare che non pervenga a rottura prima delle zone della trave e del pilastro ad esso adiacente. L'azione di taglio, agente in direzione orizzontale per le varie direzioni del sisma, nel nucleo di calcestruzzo del nodo è calcolata secondo l'espressione (7.4.6) per i nodi interni e (7.4.7) per quelli esterni. Le verifiche di resistenza sono eseguite invece secondo le indicazioni del par. 7.4.4.3.1.
- per i **setti** sismo resistenti, le sollecitazioni di calcolo sono determinate secondo quanto indicato nel par. 7.4.4.5.1. Le verifiche di resistenza sono eseguite invece secondo le indicazioni del par. 7.4.4.5.2.

9.2.2 Fondazioni

Per quanto riguarda la struttura di fondazione sono applicate le disposizioni contenute al par. 7.2.5 del D.M. 14/01/2008. Più in particolare:

- le azioni trasmesse in fondazione derivano dall'analisi del comportamento dell'intera struttura, condotta esaminando la sola struttura in elevazione alla quale sono applicate le azioni statiche e sismiche;
- il dimensionamento della struttura di fondazione e la verifica di sicurezza del complesso fondazioneterreno sono eseguite, nell'ipotesi di comportamento strutturale dissipativo, assumendo come azioni in fondazione quelle trasferite dagli elementi soprastanti amplificate di un coefficiente γ_{Rd} pari a 1,1 in CD"B" e 1,3 in CD"A".

I risultati delle suddette verifiche sono riportate nei "*Tabulati di calcold*".

9.3 Verifiche SLD

Essendo la struttura di Classe 3 sono state condotte le Verifiche allo Stato Limite di Danno come indicato al

par. 7.3.7.1 del D.M. 14/01/2008, assumendo fattori parziali dei materiali γ_m pari a 1.

10 - PROGETTAZIONE DEI SOLAI

Il solaio è un elemento strutturale fondamentale la cui funzione principale è quella di trasferire i carichi e i sovraccarichi verticali alla struttura portante. In zona sismica il solaio assume anche la funzione di trasferire le forze inerziali di piano alla struttura principale, nell'ipotesi che esso sia dotato di sufficiente rigidità nel proprio piano. La vigente normativa per le costruzioni in cemento armato individua le seguenti tipologie di solaio:

- Solai in getto pieno (Tipo I);
- Solai misti in c.a. e c.a.p. con elementi di alleggerimento (Tipo II);
- Solai con elementi prefabbricati in c.a. e c.a.p. (Tipo III).

Nella struttura oggetto della presente relazione, in considerazione delle caratteristiche geometriche e dei sovraccarichi, si è deciso di adottare solai di tipo:

Solai latero-cementizi gettati in opera

I solai latero-cementizi **gettati in opera** sono costituiti da blocchi di laterizio, muniti di alette laterali o accompagnati da fondelli sempre in laterizio, che vengono posizionati su un impalcato di sostegno provvisorio. Quest'ultimo viene smontato non appena il conglomerato ha raggiunto una resistenza meccanica sufficiente. Dopo aver sistemato tutti i blocchi e prima di procedere con il getto dei travetti e della soletta in calcestruzzo, si posizionano i ferri di armatura ricorrendo all'uso di distanziatori o di sistemi equivalenti in modo da assicurare che, nella fase di getto, i ferri mantengano una corretta disposizione.

Modello di calcolo

Il solaio è composto da un'alternanza di travetti in cemento armato (precompresso o non) con elementi di alleggerimento in laterizio e da una soletta di completamento in cemento armato che, coprendone tutta la superficie ed inglobando una opportuna armatura di ripartizione, rende i vari elementi tra loro solidali.

La presenza della soletta fa sì che il solaio sia per certi versi assimilabile ad una piastra caricata in direzione perpendicolare al piano stesso (ricordiamo che una piastra è in grado di trasferire i carichi alle strutture portanti perimetrali diffondendoli lungo la propria superficie).

Questa marcata eterogeneità consente, nel calcolo, di approssimare il comportamento del solaio con quello di una trave, quindi con una *struttura monodimensionale* trascurando le sollecitazioni che si sviluppano in direzione ortogonale ai travetti.

Grazie a quest'assunzione, un solaio su una o più campate può essere modellato, in linea generale, come una trave continua su appoggi (o incastri cedevoli).

Le luci delle singole campate sono assunte pari alla distanza tra gli interassi degli appoggi. I carichi distribuiti linearmente sulla trave sono ottenuti moltiplicando i carichi per unità di superficie determinati nell'analisi dei carichi per l'ampiezza della fascia di solaio considerata. Le caratteristiche dei vincoli adottati sono riportate in dettaglio, per ciascun appoggio, negli allegati tabulati di calcolo.

Per quanto non espressamente riportato in questo paragrafo, ed in particolare per le analisi dei carichi, la determinazione delle azioni agenti sulla struttura, la definizione del modello strutturale agli elementi finiti e le verifiche, può farsi riferimento a quanto illustrato nella restante parte della presente relazione e negli allegati "Tabulati di Calcolo".

11 - CARICO NEVE

11.1 EFFETTI GENERALI

Il carico provocato dalla neve sulla copertura è stato valutato mediante la seguente espressione:

$$q_s = \mu_i \times q_{sk} \times C_F \times C_t$$

dove:

q_s è il carico neve sulla copertura;

 μ_i è il coefficiente di forma della copertura:

q_{sk} valore caratteristico di riferimento del carico neve al suolo per un periodo di ritorno di 50 anni;

C_F è il coefficiente di esposizione;

C_T è il coefficiente termico.

Nel caso in esame si ha:

Regione: Lazio

Periodo di ritorno: 50 anni Altezza S.L.M.: 272 metri

Inclinazione della falda α : 0°

•
$$C_E = 1$$

Topografia	Descrizione	CE
Battuta dai venti	Aree pianeggianti non ostruite esposte su tutti i lati, senza costruzioni o alberi più alti.	0,9
Normale	Aree in cui non è presente una significativa rimozione di neve sulla costruzione prodotta dal vento, a causa del terreno, altre costruzioni o alberi.	1,0
Riparata	Aree in cui la costruzione considerata è sensibilmente più bassa del circostante terreno o circondata da costruzioni o alberi più alti	1,1

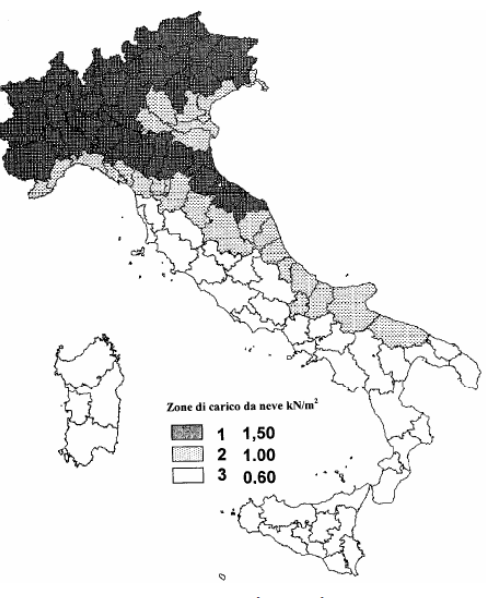


Figura 3.4.1 - Zone di carico da neve

 $C_{T} = 1$

Risulta pertanto:

Zona: III

Coefficiente di forma	0° ≤ α ≤ 30°	30° < α < 60°	α ≥ 60°
μ_1	0,8	$0.8 \cdot \frac{(60 - \alpha)}{30}$	0,0

- $\mu_1 = 0.8$ (coperture plane $\alpha_1 = 0^\circ$)
- $\mu_2 = 0.8$ (coperture piane $\alpha_2=0^\circ$)

$$q_{sk} = 0.60 \text{ kN/m}^2$$

 $q_{sk} = 0.51 \left[1 + (2.481)^2 \right] \text{ kN/m}^2$

 $a_s \le 200 \text{ m}$

 $q_{sk} = 0.51 [1 + (a_s/481)^2] \text{ kN/m}^2$

 $a_s > 200 \text{ m}$

Carico neve al suolo

 $q_{sk} = 670 \text{ N/mq}$

CARICO NEVE

 $q_s = 537 \text{ N/mg}$

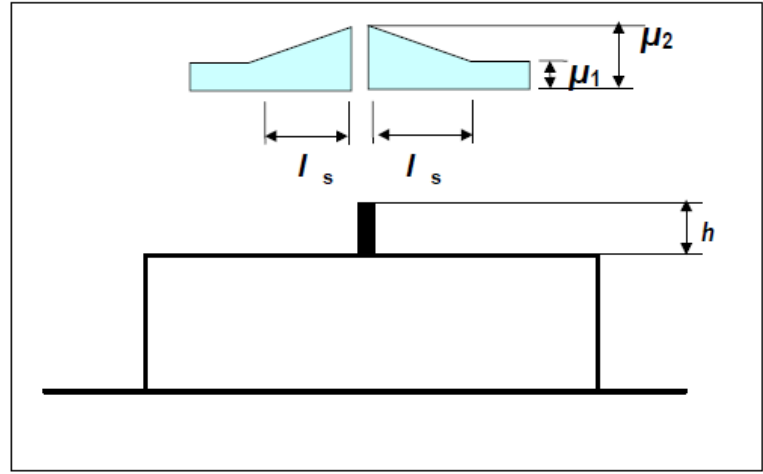
11.2 EFFETTI LOCALI DI ACCUMULO

Le indicazioni che seguono sono da intendersi riferite a fenomeni locali, che debbono essere presi in considerazione per la verifica delle membrature da questi direttamente interessate. Le condizioni di carico non dovranno pertanto fare oggetto di specifiche combinazioni di carico che interessino l'intera struttura.

Accumuli in corrispondenza di sporgenze

Se la deposizione della neve avviene in presenza di vento la presenza di sporgenze, quali ad esempio i parapetti di bordo presenti su coperture piane, causano la formazione di accumuli nelle zone di "ombra aerodinamica".

Per coperture pseudo-orizzontali si dovrà considerare la condizione di carico illustrata nella seguente figura.



Per il quale si assumerà:

$$\mu_1 = 0.8$$
 e $\mu_2 = \gamma h / q_{sk}$, con la limitazione: $0.8 \le \mu_2 \le 2.0$

Dove:

 γ è il peso dell'unità di volume della neve, che per il presente calcolo può essere assunto pari a 2 kN/m³

 $I_s = 2 \text{ h, con la limitazione: } 5 \le I_s \le 15 \text{ m}$

Pertanto risulta:

 $\begin{array}{l} \mu_2 = 2.0 \\ e \\ q_s = \mu_2 \times q_{sk} \times C_E \times C_t = \ 1074 \ N/mq \\ h = 1.0 \ m \\ I_s = 2.0 \ m \end{array}$

Considerato che tale carico agisce su una porzione molto limitata di copertura praticabile e con carico variabile molto superiore a quello qui calcolato, nell'elaborare le verifiche dei solai non si considera la contemporanea presenza di entrambe i carichi, poiché le zone in cui la neve si accumula, risultano impraticabili. Pertanto, con le giustificazioni sopra riportate, si omette di includere il carico della neve dovuto all'accumulo, nella combinazione dei carichi per effettuare le verifiche delle strutture.

Neve aggettante dal bordo di una copertura

Essendo la località posta a quota inferiore a 800 ml sul livello del mare, si trascura questo tipo di azione.

12 – INTERFERENZA TRA CORPI DI FABBRICA

La nuova costruzione viene affiancata ad una costruzione esistente composta da telai unidirezionali in c.a. e solaio in laterocemento. Anche i due nuovi corpi di fabbrica quali il fabbricato ed il muro di sostegno sono separati da un giunto strutturale, ma in questo caso è un giunto orizzontale tra l'intradosso del balcone e la sezione di sommità della parete del muro di sostegno. In quest'ultimo caso in caso di sisma le due strutture si muovono una sopra l'altra, separati da un giunto orizzontale di 5 cm.

Per quanto riguarda le fondazioni delle costruzioni esistenti con quelle delle nuove costruzioni e tra le nuove costruzioni, occorre considerare che vista la natura di fondazioni profonde su pali, tra di loro non creano nessuna interferenza.

12.1 GIUNTI STRUTTURALI CON FABBRICATI ESISTENTI

Premesso che tutte le costruzione esistenti sono in fase di demolizione e con ulteriori fondi dovrebbero essere tutte demolite, il problema dei giunti tecnici sono sarà più presente dopo la demolizione.

Allo stato attuale invece, nonostante i fabbricati esistenti siano inagibili, potrebbero creare comunque problemi di martellamento con il nuovo fabbricato, e per questo motivo sono stati anteposti dei giunti strutturali.

Secondo il punto 7.2.2, la distanza tra costruzioni contigue deve essere tale da evitare fenomeni di martellamento e comunque non può essere inferiore alla somma degli spostamenti massimi determinati per lo SLV, calcolati per ciascuna costruzione secondo il § 7.3.3 (analisi lineare) o il § 7.3.4 (analisi non lineare); in ogni caso la distanza tra due punti che si fronteggiano non può essere inferiore ad 1/100 della quota dei punti considerati misurata dal piano di fondazione, moltiplicata per ag 0.00 0.00 0.00 0.00 0.00 0.00 0.00 0.00 0.00 0.00 0.00 0.00 0.00 0.00 0.00 0.00 0.00 0.00 0.00 0.00 0.00 0.00 0.00 0.00 0.00 0.00 0.00 0.00 0.00 0.00 0.00 0.00 0.00 0.00 0.00 0.00 0.00 0.00 0.00 0.00 0.00 0.00 0.00 0.00 0.00 0.00 0.00 0.00 0.00 0.00 0.00 0.00 0.00 0.00 0.00 0.00 0.00 0.00 0.00 0.00 0.00 0.00 0.00 0.00 0.00 0.00 0.00 0.00 0.00 0.00 0.00 0.00 0.00 0.00 0.00 0.00 0.00 0.00 0.00 0.00 0.00 0.00 0.00 0.00 0.00 0.00 0.00 0.00 0.00 0.00 0.00 0.00 0.00 0.00 0.00 0.00 0.00 0.00 0.00 0.00 0.00 0.00 0.00 0.00 0.00 0.00 0.00 0.00 0.00 0.00 0.00 0.00 0.00 0.00 0.00 0.00 0.00 0.00 0.00 0.00 0.00 0.00 0.00 0.00 0.00 0.00 0.00 0.00 0.00 0.00 0.00 0.00 0.00 0.00 0.00 0.00 0.00 0.00 0.00 0.00 0.00 0.00 0.00 0.00 0.00 0.00 0.00 0.00 0.00 0.00 0.00 0.00 0.00 0.00 0.00 0.00 0.00 0.00 0.00 0.00 0.00 0.00 0.00 0.00 0.00 0.00 0.00 0.00 0.00 0.00 0.00 0.00 0.00 0.00 0.00 0.00 0.00 0.00 0.00 0.00 0.00 0.00 0.00 0.00 0.00 0.00 0.00 0.00 0.00 0.00 0.00 0.00 0.00 0.00 0.00 0.00 0.00 0.00 0.00 0.00 0.00 0.00 0.00 0.00 0.00 0.00 0.00 0.00 0.00 0.00 0.00 0.00 0.00 0.00 0.00 0.00 0.00 0.00 0.00 0.00 0

Qualora non si eseguano calcoli specifici, lo spostamento massimo di una costruzione non isolata alla base, può essere stimato in 1/100 dell'altezza della costruzione moltiplicata per ag·S/0,5g.

Particolare attenzione va posta al dimensionamento dei distacchi se le costruzioni hanno apparecchi di isolamento sismico tenendo in conto le indicazioni riportate nel § 7.10.4 e nel § 7.10.6.

Nel caso specifico, conoscendo l'altezza H della costruzione esistente, e non essendo una costruzione isolata alla base, otteniamo la stima approssimata dello spostamento massimo per la costruzione esistente:

$$d' = H/100 (a_g S / 0.5 g) = 2.1 cm$$

$$H = 4,70 \text{ mt}$$

 $a_g S / 0,5 g = 0,456 \le 1$

Mentre nella nuova costruzione, per il calcolo degli spostamenti, occorre procedere secondo il § 7.3.3.3, elaborando una analisi dinamica lineare. Nel caso specifico gli spostamenti d_E della struttura sotto l'azione sismica di progetto allo SLV si ottengono moltiplicando per il fattore μ_d i valori d_{Ee} ottenuti dall'analisi lineare dinamica secondo l'espressione sequente:

$$d_E = \pm \mu_d \ d_{Ee} = 2.8 \text{ cm}$$

Il valore sopra indicato è stato ricavato dai tabulati di calcolo per il primo livello della nuova struttura. Per valutare la misura del giunto necessaria ad evitare il martellamento, occorre sommare il valore dello spostamento stimato per la struttura esistente d', con il valore dello spostamento allo SLV del piano interrato della nuova struttura $d_{\rm E}$:

$$d = d' + d_E = 4.9 \text{ cm} < 5 \text{ cm}$$

Tale valore risulta inferiore alla dimensione del giunto strutturale che è pari a 5 cm.

13 – ELEMENTI NON STRUTTURALI

Gli elementi strutturali secondari devono essere in grado di mantenere la loro portanza nei confronti dei carichi verticali nella configurazione deformata più sfavorevole tenendo conto, quando necessario, delle non linearità geometriche, nei modi specificati nel §7.3 del DM2008. I particolari costruttivi che si applicano agli elementi strutturali secondari sono quelli prescritti al cap. 4 solo per gli elementi che non subiscono plasticizzazioni sotto le azioni di progetto allo SLU. In caso contrario valgono le prescrizioni del cap. 7.

Le strutture di sostegno degli impianti e le opere accessorie che non costituiscono parte della struttura dell'edificio sono descritte come elementi non strutturali. Esempi di elementi non strutturali sono i rivestimenti degli edifici, le facciate ed i soffitti sospesi, ma anche le installazioni e le apparecchiature quali condutture, apparecchiature, macchinari e installazioni fotovoltaiche.

Se gli elementi non strutturali devono essere progettati e protetti per resistere agli eventi sismici, il fattore decisivo per la progettazione e il dimensionamento sismico non è esclusivamente il movimento del suolo (massima accelerazione al suolo ag), ma soprattutto quello dell'edificio o del solaio sul quale l'elemento è installato. In questo caso il fattore fondamentale è l'accelerazione al piano af, la cui magnitudo e frequenza dipendono dalla struttura dell'edifico attraverso il quale le scosse vengono trasmesse. L'edifico agisce da filtro di frequenza, che amplifica le scosse del terremoto nell'area della frequenza naturale dell'edificio. Sull'elemento strutturale stesso agisce anche l'amplificazione dinamica. In questo caso, il fattore decisivo è il comportamento di vibrazione naturale dell'elemento stesso, le sue caratteristiche di smorzamento e la sua capacità di dissipare l'energia attraverso la deformazione plastica.

Gli effetti dell'azione sismica sugli elementi costruttivi senza funzione strutturale possono essere determinati applicando a tali elementi una forza orizzontale $\mathbf{F}_{\mathbf{a}}$ definita come segue:

$$F_a = (S_a \cdot W_a)/q_a$$

dove:

F_a è la forza sismica orizzontale agente al centro di massa dell'elemento non strutturale nella direzione più sfavorevole;

Wa è il peso dell'elemento;

- S_a è l'accelerazione massima, adimensionalizzata rispetto a quella di gravità, che l'elemento strutturale subisce durante il sisma e corrisponde allo stato limite in esame (v. § 3.2.1 NTC 08);
- q_a = fattore di struttura.

In assenza di specifiche determinazioni, per q_a si possono assumere i valori riportati in Tab. 7.2.I. di cui al par. 7.2.3.

Tabella 7.2.I - Valori di qa per elementi non strutturale

Elemento non strutturale	q_a
Parapetti o decorazioni aggettanti	
Insegne e pannelli pubblicitari	1.0
Ciminiere, antenne e serbatoi su supporti funzionanti come mensole senza controventi per più di metà	1,0
della loro altezza	
Pareti interne ed esterne	
Tramezzature e facciate	
Ciminiere, antenne e serbatoi su supporti funzionanti come mensole non controventate per meno di	2.0
metà della loro altezza o connesse alla struttura in corrispondenza o al di sopra del loro centro di massa	2,0
Elementi di ancoraggio per armadi e librerie permanenti direttamente poggianti sul pavimento	
Elementi di ancoraggio per controsoffitti e corpi illuminanti	

In mancanza di analisi più accurate S_a può essere calcolato nel seguente modo:

$$S_a = \alpha \cdot S \left[\frac{3 \cdot (1 + Z/H)}{1 + (1 - T_a/T_1)^2} - 0.5 \right] \ge \alpha \cdot S$$

dove:

• è il rapporto tra l'accelerazione massima del terreno a_g su sottosuolo tipo A da considerare nello stato limite in esame (v. § 3.2.1) e l'accelerazione di gravità g;

- $S=S_T \cdot S_s$ è il coefficiente che tiene conto della categoria di sottosuolo e delle condizioni topografiche secondo quanto riportato nel § 3.2.3.2.1;
- T_a è il periodo fondamentale di vibrazione dell'elemento non strutturale;
- T₁ è il periodo fondamentale di vibrazione della costruzione nella direzione considerata;
- Z è la quota del baricentro dell'elemento non strutturale misurata a partire dal piano di fondazione (v. § 3.2.2);
- H è l'altezza della costruzione misurata a partire dal piano di fondazione.

Il valore del coefficiente sismico S_a non può essere assunto minore di $\cdot \cdot S$.

13.1 Criteri di progettazione delle tamponature

Secondo il § 7.2.3 delle NTC 08, con l'esclusione dei soli tamponamenti interni di spessore non superiore a 100 mm, gli elementi costruttivi senza funzione strutturale il cui danneggiamento può provocare danni a persone, devono essere verificati per l'azione sismica corrispondente a ciascuno degli stati limite considerati.

Secondo quanto indica la Circolare 2 febbraio 2009 n. 617 al § C7.3.6.3, la verifica del collasso fragile e prematuro e la possibile espulsione sotto l'azione sismica Sa delle tamponature si può ritenere conseguita con l'inserimento di leggere reti da intonaco sui due lati della muratura, collegate tra loro ed alle strutture circostanti a distanza non superiore a 500 mm sia in direzione orizzontale sia in direzione verticale, ovvero con l'inserimento di elementi di armatura orizzontale nei letti di malta, a distanza non superiore a 500 mm.

Relativamente al calcolo del periodo di vibrazione dell'elemento non strutturale (T_a) si può fare riferimento alla seguente formulazione:

$$T_{a} = \frac{2 \cdot h^{2}}{(\pi \cdot k^{2})} \sqrt{\frac{A \cdot \gamma_{m}}{E \cdot I \cdot g}}$$

dove:

k: è un numero intero ed indica il modo di vibrare preso in esame per l'elemento non strutturale (=1,2,3, per il primo, secondo, terzo modo di vibrazione, ...)

h [mm]: è l'altezza della tamponatura;

A= s·L [mm²]: è l'area di base della tamponatura, con:

s=spessore della tamponatura comprensivo anche delle parti non aventi funzione resistente (intonaco, isolamento, ecc.)

L=lunghezza della tamponatura);

•_m [N/mm³]: è il peso per unità di volume della tamponatura;

E=1000·f_k [N/mm²]: è il modulo elastico della tamponatura, con:

- f_k [N/mm 2]: resistenza caratteristica a compressione della tamponatura (vedi Tab. 11.10.V NTC 08);
- I $[mm^4]$ è il momento di inerzia della tamponatura rispetto all'asse baricentrico ortogonale alla forza F_a ;
- g [mm/s²] è l'accelerazione di gravita;

Le verifiche di resistenza e stabilità della tamponatura vengono fatte verificando le sequenti ipotesi.

• **Prima Ipotesi** (*Tamponatura doppiamente appoggiata in testa ed al piede con carico uniformemente distribuito*)

Il momento sollecitante massimo, nella sezione di mezzeria, è pari a:

$$M_{Ed} = F_a \cdot h^2 / (8 \cdot h)$$

Il momento resistente è pari a:

$$M_{Rd} = \frac{L \cdot s^2 \cdot \sigma_0}{2 \left(1 - \frac{\sigma_0}{0.85 f_d} \right)}$$

La verifica è soddisfatta se:

$$M_{Rd}/M_{Ed} \ge 1$$

• **Seconda Ipotesi** (*Cinematismo con formazione di cerniere plastiche in appoggio e mezzeria - spanciamento*)

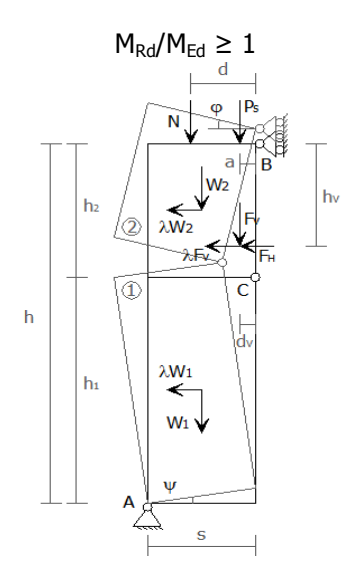
Il momento ribaltante massimo, nella sezione di mezzeria, è pari a:

$$M_{Ed} = (F_a \cdot h/8) + (W_a \cdot s/4)$$

Il momento stabilizzante, con riferimento alla sezione di mezzeria, è pari a:

$$M_{Rd} = \frac{W_a}{2} \left[s - \frac{W_a}{4 \cdot 0.85 f_d \cdot L} \right]$$

La verifica è soddisfatta se:



13.2 Criteri di progettazione degli impianti

In aggiunta a quanto già indicato nelle NTC, si segnala che i corpi illuminanti debbono essere dotati di dispositivi di sostegno tali da impedirne il distacco in caso di terremoto; in particolare, se montati su controsoffitti sospesi, devono essere efficacemente ancorati ai sostegni longitudinali e trasversali del controsoffitto e non direttamente ad esso.

La verifica sismica relativa agli elementi di sostegno e collegamento dei componenti gli impianti e tra gli impianti e la struttura dell'edificio, richiede la suddivisione in tre elementi di indagine:

- Unità trattamento aria, gruppi frigo e collettori con relative pompe
- Connessioni tra le apparecchiature indicate e le linee di distribuzione
- Connessioni tra tubazioni delle linee di distribuzione e strutture

L'effetto dell'azione sismica sull'impianto, in assenza di determinazioni più precise, può essere valutato considerando una forza (Fa) applicata al baricentro di ciascuno degli elementi funzionali componenti l'impianto. Ciascun elemento di un impianto che ecceda il 30% del carico permanente totale del solaio su cui è collocato o il 10% del carico permanente totale dell'intera struttura richiede uno specifico studio. Gli impianti non possono essere vincolati alla costruzione contando sull'effetto dell'attrito, bensì debbono essere collegati ad essa con dispositivi di vincolo rigidi o flessibili. Se si adottano dispositivi di vincolo flessibili i collegamenti di servizio dell'impianto debbono essere flessibili e non possono far parte del meccanismo di

vincolo."

Nel caso specifico, non sarà installato alcun impianto che ecceda il 30% del carico permanente totale del solaio su cui è collocato o il 10% del carico permanente totale dell'intera struttura.

14 - TABULATI DI CALCOLO

Per quanto non espressamente sopra riportato, ed in particolar modo per ciò che concerne i dati numerici di calcolo, si rimanda all'allegato "*Tabulati di calcolo*" costituente parte integrante della presente relazione.

Cave, 05/04/2017

Il progettista strutturale

Arch. Doriana Proietti Ing. Giuseppe Giordano

Per presa visione, il direttore dei lavori

Per presa visione, il collaudatore

Arch. Doriana Proietti

...